

吹付けコンクリートを用いたトンネルライニングの耐力性状に関する模型実験

日本大学 工学部 正会員 原 忠勝
日本大学 大学院 学生員 板垣 豊

1 まえがき

近年、都市トンネルなど 比較的軟弱な地質に対して吹付けコンクリートを用いたライニングによつたトンネル施工が行はわれゆるようになつた。しかし、これらの工法は、これまでハッカボルトを用いた山岳トンネルを対象としたもので²⁾、軟弱地質に対するライニングの設計についての資料はほとんど得られていないのが現状である。

本研究は、これら比較的軟弱な地質下における 吹付けコンクリートを用いたトンネルライニングの設計についての資料を得ることを目的としたものである。本報告においては、これら薄肉トンネルライニングの耐力及び破壊性状についての基礎資料を得たため モルタルを用いた模型実験を行い検討したものである。

2 実験概要

Rabczewiczによる薄肉トンネルライニングの設計に対する地山の破壊挙動は 図-1に示すよつて、トンネルの側壁部分の地山がすり破壊する事により くさび状すべり土塊となつて空洞に突出するとするものである。これらの地山の破壊挙動は、軟岩をモデル化した安田らの実験によつても検証されてゐる。

これより、ライニングに作用する荷重をモデル化するため 次の仮定を用い載荷装置を作製した。
i) 内部摩擦角: $\phi = 30^\circ$ の土質地山を考える ii) ライニングは硬化するまで荷重を受けないとする、 iii) 掘削面とライニングとの付着による効果は期待できない iv) 土圧作用後、地山周辺にあけた穴の再分配はなされない。

載荷装置は、図-2に示すよつて、内径80cm、奥行40cmの半円で、載荷幅は地山の内部摩擦角・ $\phi = 30^\circ$ より求められくさび状すべり土塊の幅より $b = 70\text{ cm}$ としたものである。図に示すよつて、この載荷部はローラーベアリングを用いた可動プロックである。

実験条件は 現行の慣用ライニング厚さ $t = 0.017D$ (D はトンネル直径)を基準とし $t = 1, 2\text{ cm}$ とした。また、載荷装置の可動状態に対する予備実験として $t = 4\text{ cm}$ についても実験を行なつた。

ライニングは、モデル化による寸法縮小のため 粗骨材最大寸法の関係よりモルタルを使用し 型枠を用いて打設した。

また ライニングの載荷実験と並行して 使用材料の特性を知るために 圧縮 割裂試験のほか 二面せん断試験 間接一面せん断試験(Push-Offタイプ)、さらに 間接一面せん断試験においてはせん断面の角度を $\theta = 0^\circ, 10^\circ, 20^\circ$ と変化させ、圧縮を受けながらせん断するようにした。

3 結果及び考察

載荷重とライニング頂部における変位の関係は 図-3に示す通りである。図に示すよつて、荷重増加と共に緩やかにカーブを描きながら変位が増加し、脆性的な破壊がみられた。

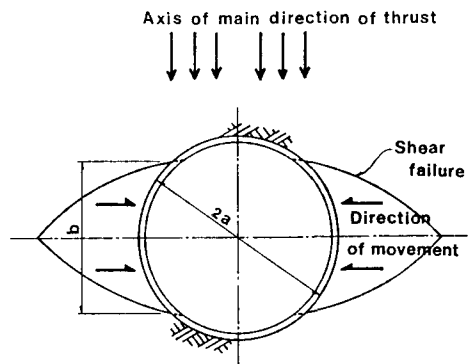


図-1 地山の破壊挙動

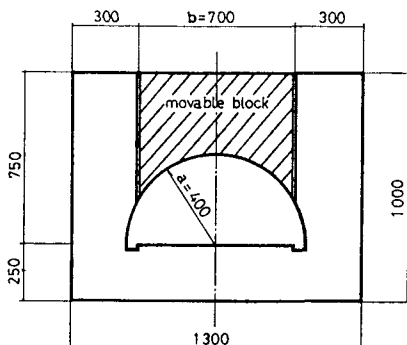


図-2 載荷装置

破壊形狀は Rabcewiczが述べているような地山のせん断すべり線に沿ったライニングのせん断破壊で、せん断面とライニング軸方向とのなす角は約30°である。た

図-4に各荷重時に測定した軸方向歪より求めた軸応力を示した。図のようすにライニング頂部での軸応力は、側方に比べて小さい値を示している事からアーチ的な機構となる、というように思われるがほぼ一様な軸応力が作用しているとみてよいようである。そして破壊時には一軸圧縮強度に近い圧縮応力をライニングに作用している。また、図において破壊線鎖線で示した線は各荷重を単に断面積で除したものであるが実験値に近似している。

表-1にライニングの耐力算定に関してせん断破壊をするとして計算した幾つかの方法による値を示した。表に示されるようにライニングの破壊形態はせん断破壊となっているがアーチとしての軸力発生により、ライニングは圧縮力を受けながらせん断されていると思われるため、純せん断強度で算定した耐力より、かなり大きな耐力を有していることがわかる。(4)の方法ではせん断強度を一軸圧縮強度の43%としているため実験値に近い値となっている。図によるとこの式は、ライニング材の圧縮強度を引張強度の10倍であるとしてMohrの破壊包絡線を放物線と仮定して導いた式であり、その時のライニングのせん断角を30°としている。

以上薄肉トンネルライニングについて載荷実験を行なった結果ライニングは一様な軸応力を受けつつせん断されるため、純せん断強度を用いて耐力算定を行なつよりも圧縮とせん断の組合せ应力下におけるせん断強度を用いて算定すべきであると思われる。また、今回の実験では、地山の土質条件を $\phi = 30^\circ$ と仮定したためこの条件とライニングのせん断角との間に関連性があるかどうかについては不明である。それ故 ϕ によつて決定される載荷幅を変えた実験を行なう必要があると思われる。

〈参考文献〉

- 1) 例えば佐々木、指田、篠原、大断面NATMの計画結果、日本国土開拓技術研究報告、No.3
- 2) 高山昭：NATM (1)～(22) トンネルと地下、Vol.12, No.1, 1981, ~ Vol.13, No.10, 1982
- 3) Rabcewicz, L.V. Stability of tunnels under rock load, Water Power, June~Aug., 1969
- 4) 安田、土屋、須藤：ロックボルトによるトンネル補強効果に関する試験(その2)，第38回年譲III-64
- 5) 岡行俊：薄肉理論とその応用(1), (2), トンネルと地下、Vol.7, No.4~5, 1976

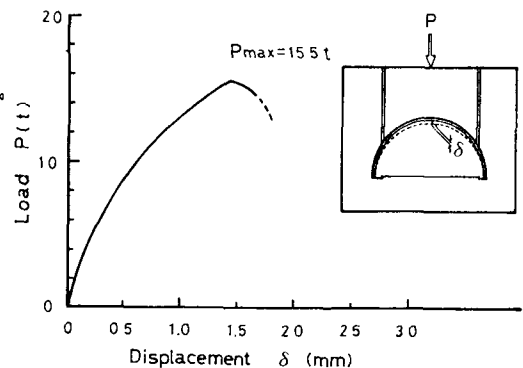


図-3 載荷重と変位の関係 ($t = 2 \text{ cm}$)

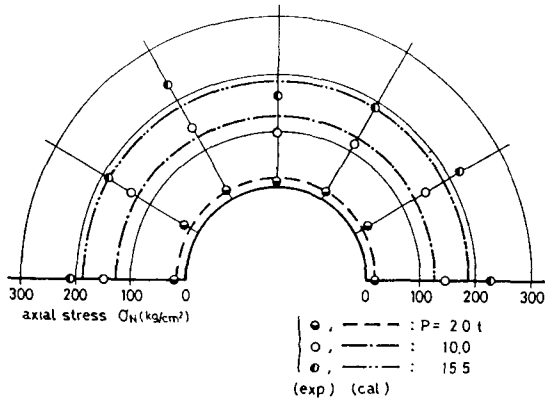


図-4 荷重、軸方向応力の関係 ($t = 2 \text{ cm}$)

表-1 各種せん断強度による耐力算定 ($t = 2 \text{ cm}$)

	(1)	(2)	(3)	(4)
$\tau (\text{kg/cm}^2)$	34.4	31.2	29.5	102.6
$P (t)$	5.5	5.0	4.7	16.4
exp./cal.	2.80	3.10	3.30	0.95

$$P = 2\tau A, A = 80 \text{ cm}^2 : P(\text{exp.}) = 15.5 \text{ t}$$

(1) 二面せん断試験の値

(2) 間接一面せん断試験の値

(3) $\tau = \sqrt{f_c f_t} / 2 \cdot \text{Mohr}$

(4) $\tau = 0.43 f_c \cdot \text{岡}$

$$(f_c = 238.5 \text{ kg/cm}^2, f_t = 14.6 \text{ kg/cm}^2)$$